

**Adopted Levels, Gammas**

Type	Author	History Citation	Literature Cutoff Date
Full Evaluation	Jun Chen	NDS 146, 1 (2017)	30-Sep-2017

Q( $\beta^-$ )=2915 10; S(n)=5660 3; S(p)=10905 9; Q( $\alpha$ )=137 4 2017Wa10

S(2n)=9686 3, S(2p)=20125 4, Q(2 $\beta^+$ )=8289 3 (2017Wa10).

First identification of <sup>138</sup>Xe nuclide by 1943Se02 (see 2013Ka01).

Other reactions:

2005Ga25: 2000Ga60: <sup>232</sup>Th,<sup>238</sup>U( $\gamma$ ,F) E=25 MeV, measured yields.

2000JoZZ,2000YoZS: <sup>235</sup>U,<sup>238</sup>U(n,F), measured yields.

1998Ph04: <sup>238</sup>U(n,F) E=1.5-3.5 MeV, measured  $\sigma$ .

<sup>138</sup>Xe Levels

Cross Reference (XREF) Flags

A	<sup>138</sup> I $\beta^-$ decay	D	<sup>252</sup> Cf SF decay
B	<sup>139</sup> I $\beta^-$ -n decay	E	<sup>235</sup> U(n,F) $\gamma$ , <sup>238</sup> U(n,F) $\gamma$
C	<sup>248</sup> Cm SF decay	F	Coulomb excitation

E(level) <sup>†</sup>	J <sup><math>\pi</math></sup>	T <sub>1/2</sub>	XREF	Comments
0.0 <sup>‡</sup>	0 <sup>+</sup>	14.14 min 7	ABCDEF	% $\beta^-$ =100 T <sub>1/2</sub> : weighted average of 14.18 min 10 (2012Wa21), 14.08 min 8 (1972Mo33), 14.17 min 7 (1969Ca03), 14.0 min 2 (1964Cl01), 14.1 min 8 (1966Ar08), 14.5 min 5 (1965Pa14). Other: 1968To20. Additional information 1. Evaluated nuclear charge radius $\langle r^2 \rangle^{1/2}$ =4.828 fm 8 (2013An02).
588.826 <sup>‡</sup> 18	2 <sup>+</sup>	10.5 ps +38-22	ABCDEF	J <sup><math>\pi</math></sup> : 588.825 $\gamma$ E2 to 0 <sup>+</sup> g.s. T <sub>1/2</sub> : from preliminary B(E2) $\uparrow$ =0.38 10 (2007Kr19) in Coulomb excitation. Other: 15 ps 11 from $\gamma\gamma$ (t) in (n,f) $\gamma$ .
1072.53 <sup>‡</sup> 3	(4 <sup>+</sup> )		ABCDE	J <sup><math>\pi</math></sup> : 484.700 $\gamma$ (E2) to 2 <sup>+</sup> , band structure.
1463.99 7	(2 <sup>+</sup> )		ABC E	J <sup><math>\pi</math></sup> : 875.25 $\gamma$ (M1+E2) to 2 <sup>+</sup> , 1463.98 $\gamma$ to 0 <sup>+</sup> , systematics of N=84 nuclei.
1554.6 <sup>‡</sup> 4	(6 <sup>+</sup> )		CDE	J <sup><math>\pi</math></sup> : 482.1 $\gamma$ (E2) to (4 <sup>+</sup> ), band structure.
1866.21 8	(1,2 <sup>+</sup> )		A	J <sup><math>\pi</math></sup> : 1277.45 $\gamma$ to 2 <sup>+</sup> , 1866.20 $\gamma$ to 0 <sup>+</sup> .
1903.17 6	(2 <sup>+</sup> ,3,4 <sup>+</sup> )		A C E	J <sup><math>\pi</math></sup> : 439.04 $\gamma$ to (2 <sup>+</sup> ), 830.69 $\gamma$ to (4 <sup>+</sup> ), 1314.30 $\gamma$ to 2 <sup>+</sup> . (4 <sup>+</sup> ) is proposed by 2000Ko15 in <sup>248</sup> Cm SF decay.
2015.48 8	(3 <sup>-</sup> )		A	J <sup><math>\pi</math></sup> : 942.89 $\gamma$ to (4 <sup>+</sup> ), 1426.76 $\gamma$ to 2 <sup>+</sup> ; systematics of N=84 nuclei suggest a J <sup><math>\pi</math></sup> value of 3 <sup>-</sup> (1979Ho21) in <sup>138</sup> I $\beta^-$ decay.
2114.67 12	(1,2 <sup>+</sup> )		A	J <sup><math>\pi</math></sup> : 650.88 $\gamma$ to (2 <sup>+</sup> ), 1525.83 $\gamma$ to 2 <sup>+</sup> , 2114.7 $\gamma$ to 0 <sup>+</sup> .
2115.5 5			C	
2117.22 15			A	
2212.54 13			A	
2262.14 7	(1,2 <sup>+</sup> )		A	J <sup><math>\pi</math></sup> : 1673.28 $\gamma$ to 2 <sup>+</sup> , 2262.20 $\gamma$ to 0 <sup>+</sup> .
2284.2 <sup>‡</sup> 6	(8 <sup>+</sup> )		CDE	J <sup><math>\pi</math></sup> : 729.6 $\gamma$ (E2) to (6 <sup>+</sup> ), band structure.
2293.2 4	(4 <sup>+</sup> ,5,6 <sup>+</sup> )		C E	J <sup><math>\pi</math></sup> : 738.6 $\gamma$ to (6 <sup>+</sup> ), 1220.7 $\gamma$ to (4 <sup>+</sup> ). (6 <sup>+</sup> ) is proposed by 2000Ko15 in <sup>248</sup> Cm SF decay.
2331.92 13	(2 <sup>+</sup> ,3,4 <sup>+</sup> )		A	J <sup><math>\pi</math></sup> : 1259.1 $\gamma$ to (4 <sup>+</sup> ), 1743.1 $\gamma$ to 2 <sup>+</sup> .
2334.07 12	(1 <sup>-</sup> ,2,3)		A	J <sup><math>\pi</math></sup> : 318.6 $\gamma$ to (3 <sup>-</sup> ), 1745.0 $\gamma$ to 2 <sup>+</sup> .
2391.0 7			C E	
2398.15 11	(1,2 <sup>+</sup> )		A	J <sup><math>\pi</math></sup> : 1809.28 $\gamma$ to 2 <sup>+</sup> , 2398.16 $\gamma$ to 0 <sup>+</sup> .
2543.71 11	(1,2 <sup>+</sup> )		A	J <sup><math>\pi</math></sup> : 1954.8 $\gamma$ to 2 <sup>+</sup> , 2543.73 $\gamma$ to 0 <sup>+</sup> .
2572.42 11	(1,2 <sup>+</sup> )		A	J <sup><math>\pi</math></sup> : 1108.29 $\gamma$ to (2 <sup>+</sup> ), 2572.38 $\gamma$ to 0 <sup>+</sup> .
2644.8 3	(1,2 <sup>+</sup> )		A	J <sup><math>\pi</math></sup> : 2644.9 $\gamma$ to 0 <sup>+</sup> .

Continued on next page (footnotes at end of table)

Adopted Levels, Gammas (continued) $^{138}\text{Xe}$  Levels (continued)

E(level) <sup>†</sup>	J <sup>π</sup>	XREF	Comments
2655.1 6	(6 <sup>+</sup> ,7,8 <sup>+</sup> )	C E	J <sup>π</sup> : 370.9γ to (8 <sup>+</sup> ), 1100.5γ to (6 <sup>+</sup> ). (8 <sup>+</sup> ) is proposed by 2000Ko15 in $^{248}\text{Cm}$ SF decay.
2674.26 10	(1,2 <sup>+</sup> )	A	J <sup>π</sup> : 2085.43γ to 2 <sup>+</sup> , 2674.0γ to 0 <sup>+</sup> .
2710.1 7		C	
2794.37 17	(1,2 <sup>+</sup> )	A	J <sup>π</sup> : 1331.2γ to (2 <sup>+</sup> ), 2794.3γ to 0 <sup>+</sup> .
2835.63 15	(1,2)	A	J <sup>π</sup> : 1371.57γ to (2 <sup>+</sup> ), 2835.64γ to 0 <sup>+</sup> .
2890.61 20	(1,2 <sup>+</sup> )	A	J <sup>π</sup> : 2890.7γ to 0 <sup>+</sup> .
2952.63 15		A	
2964.39 12	(1,2 <sup>+</sup> )	A	J <sup>π</sup> : 2376.0γ to 2 <sup>+</sup> , 2964.4γ to 0 <sup>+</sup> .
2972.2 <sup>‡</sup> 7	(10 <sup>+</sup> )	CDE	J <sup>π</sup> : 687.9γ (E2) to (8 <sup>+</sup> ), band structure.
3224.7 7		C	
3276.5 8		C	
3354.7 7		C	
3412.7 8		C	
3474.79 21	(2 <sup>+</sup> )	A	J <sup>π</sup> : 2402.24γ to (4 <sup>+</sup> ), 3474.3γ to 0 <sup>+</sup> .
3496.59 12	(1,2 <sup>+</sup> )	A	J <sup>π</sup> : 3496.3γ to 0 <sup>+</sup> .
3516.51? 15	(1,2 <sup>+</sup> )	A	J <sup>π</sup> : 3516.3γ to 0 <sup>+</sup> .
3571.3 <sup>‡</sup> 8	(12 <sup>+</sup> )	CDE	J <sup>π</sup> : 599.0γ (E2) to (10 <sup>+</sup> ), band structure.
3839.7 8		C	
3876.7 9		C	
3898.7 7		C	
3899.05 11	(1,2 <sup>+</sup> )	A	J <sup>π</sup> : 3310.28γ to 2 <sup>+</sup> , 3898.4γ to 0 <sup>+</sup> .
3961.86 11	(1 <sup>-</sup> ,2,3)	A	J <sup>π</sup> : 1946.26γ to (3 <sup>-</sup> ); direct feeding from (2 <sup>-</sup> ) parent in $^{138}\text{I}$ β <sup>-</sup> decay.
4084.6 8		C	
4167.56 14	(1,2,3)	A	J <sup>π</sup> : direct feeding from (2 <sup>-</sup> ) parent in $^{138}\text{I}$ β <sup>-</sup> decay.
4182.01 12	(1,2 <sup>+</sup> )	A	J <sup>π</sup> : 3593.0γ to 2 <sup>+</sup> , 4182.0γ to 0 <sup>+</sup> .
4318.96 20	(1,2 <sup>+</sup> )	A	J <sup>π</sup> : 4318.9γ to 0 <sup>+</sup> .
4357.4 8		C	
4419.1 <sup>‡</sup> 9	(14 <sup>+</sup> )	C	J <sup>π</sup> : 847.8γ to (12 <sup>+</sup> ), band structure.
4490.3? 3	(1,2,3)	A	J <sup>π</sup> : direct feeding from (2 <sup>-</sup> ) parent in $^{138}\text{I}$ β <sup>-</sup> decay.
4511.8 8		C	
4526.3 9		C	
4689.9 9		C	
4965.0 10		C	
4989.7 10		C	
5042.0? 4	(1,2,3)	A	J <sup>π</sup> : direct feeding from (2 <sup>-</sup> ) parent in $^{138}\text{I}$ β <sup>-</sup> decay.
5142.0? 3	(1,2,3)	A	J <sup>π</sup> : direct feeding from (2 <sup>-</sup> ) parent in $^{138}\text{I}$ β <sup>-</sup> decay.
5341.66? 21	(1,2 <sup>+</sup> )	A	J <sup>π</sup> : 4752.7γ to 2 <sup>+</sup> , 5341.6γ to 0 <sup>+</sup> .
5520.0 10		C	
5814.0 11		C	

<sup>†</sup> From a least-squares fit to γ-ray energies, assuming ΔE<sub>γ</sub>=0.5 keV if not given.

<sup>‡</sup> Band(A): Yrast band.

Adopted Levels, Gammas (continued)

E <sub>i</sub> (level)	J <sub>i</sub> <sup>π</sup>	γ( <sup>138</sup> Xe)		γ( <sup>138</sup> Xe)					α <sup>†</sup>	Comments
		E <sub>γ</sub> <sup>‡</sup>	I <sub>γ</sub> <sup>‡</sup>	E <sub>f</sub>	J <sub>f</sub> <sup>π</sup>	Mult. <sup>@</sup>	δ			
588.826	2 <sup>+</sup>	588.825 18	100	0.0	0 <sup>+</sup>	E2			0.00577	α(K)=0.00491 7; α(L)=0.000686 10; α(M)=0.0001398 20 α(N)=2.87×10 <sup>-5</sup> 4; α(O)=3.48×10 <sup>-6</sup> 5 B(E2)(W.u.)=18 5 Mult.: from Coulomb excitation and γ(θ) in <sup>248</sup> Cm SF decay.
1072.53	(4 <sup>+</sup> )	483.700 24	100	588.826	2 <sup>+</sup>	(E2)			0.00985	α(K)=0.00833 12; α(L)=0.001218 17; α(M)=0.000249 4 α(N)=5.10×10 <sup>-5</sup> 8; α(O)=6.10×10 <sup>-6</sup> 9
1463.99	(2 <sup>+</sup> )	875.25 13	100.0 24	588.826	2 <sup>+</sup>	(M1+E2)	-5.2 +16-39		0.00221 4	α(K)=0.00190 4; α(L)=0.000247 5; α(M)=5.01×10 <sup>-5</sup> 9 α(N)=1.033×10 <sup>-5</sup> 18; α(O)=1.276×10 <sup>-6</sup> 23 Mult.,δ: D+Q from γγ(θ) (1992Co26) in <sup>138</sup> I β <sup>-</sup> decay; positive parity for the 1464 level based on systematics of N=84 nuclei; mult=E1+M2 with such a large δ is highly unlikely.
1554.6	(6 <sup>+</sup> )	1463.98 21 482.1 <sup>#</sup>	7.5 10 100	0.0 1072.53	0 <sup>+</sup> (4 <sup>+</sup> )	(E2)			0.00995	α(K)=0.00841 12; α(L)=0.001231 18; α(M)=0.000252 4 α(N)=5.15×10 <sup>-5</sup> 8; α(O)=6.16×10 <sup>-6</sup> 9
1866.21	(1,2 <sup>+</sup> )	1277.45 11	100 3	588.826	2 <sup>+</sup>					
1903.17	(2 <sup>+</sup> ,3,4 <sup>+</sup> )	1866.20 17	15.3 14	0.0	0 <sup>+</sup>					
		439.04 23	11.5 18	1463.99	(2 <sup>+</sup> )					
		830.69 8	100 3	1072.53	(4 <sup>+</sup> )					
		1314.30 10	59 4	588.826	2 <sup>+</sup>					
2015.48	(3 <sup>-</sup> )	942.89 8	61 3	1072.53	(4 <sup>+</sup> )					
		1426.76 21	100 4	588.826	2 <sup>+</sup>					
2114.67	(1,2 <sup>+</sup> )	650.88 <sup>a</sup> 22	26 3	1463.99	(2 <sup>+</sup> )					
		1525.83 13	100 5	588.826	2 <sup>+</sup>					
		2114.7 3	21 3	0.0	0 <sup>+</sup>					
2115.5		1043.0 <sup>#</sup>	100	1072.53	(4 <sup>+</sup> )					
2117.22		1528.38 15	100	588.826	2 <sup>+</sup>					
2212.54		1623.69 13	100	588.826	2 <sup>+</sup>					
2262.14	(1,2 <sup>+</sup> )	1673.28 9	31.5 12	588.826	2 <sup>+</sup>					
		2262.20 11	100 3	0.0	0 <sup>+</sup>					
2284.2	(8 <sup>+</sup> )	729.6	100	1554.6	(6 <sup>+</sup> )	(E2)			0.00335	α(K)=0.00287 4; α(L)=0.000385 6; α(M)=7.82×10 <sup>-5</sup> 11 α(N)=1.609×10 <sup>-5</sup> 23; α(O)=1.97×10 <sup>-6</sup> 3
2293.2	(4 <sup>+</sup> ,5,6 <sup>+</sup> )	738.6 <sup>#</sup>		1554.6	(6 <sup>+</sup> )					
		1220.7 <sup>#</sup>		1072.53	(4 <sup>+</sup> )					
2331.92	(2 <sup>+</sup> ,3,4 <sup>+</sup> )	1259.1 3	100 18	1072.53	(4 <sup>+</sup> )					
		1743.1 3	85 9	588.826	2 <sup>+</sup>					
2334.07	(1 <sup>-</sup> ,2,3)	318.6 4	3.3 12	2015.48	(3 <sup>-</sup> )					

Adopted Levels, Gammas (continued)

γ(<sup>138</sup>Xe) (continued)

<u>E<sub>i</sub>(level)</u>	<u>J<sub>i</sub><sup>π</sup></u>	<u>E<sub>γ</sub><sup>‡</sup></u>	<u>I<sub>γ</sub><sup>‡</sup></u>	<u>E<sub>f</sub></u>	<u>J<sub>f</sub><sup>π</sup></u>
2334.07	(1 <sup>-</sup> ,2,3)	430.83 21	18.2 21	1903.17	(2 <sup>+</sup> ,3,4 <sup>+</sup> )
		467.8 3	3.7 9	1866.21	(1,2 <sup>+</sup> )
		870.05 20	100 5	1463.99	(2 <sup>+</sup> )
		1745.0 4	37 7	588.826	2 <sup>+</sup>
2391.0		836.4 <sup>#</sup>	100	1554.6	(6 <sup>+</sup> )
2398.15	(1,2 <sup>+</sup> )	1809.28 14	100 3	588.826	2 <sup>+</sup>
		2398.16 15	38 4	0.0	0 <sup>+</sup>
2543.71	(1,2 <sup>+</sup> )	212.4 4	76 42	2331.92	(2 <sup>+</sup> ,3,4 <sup>+</sup> )
		640.0 3	9 3	1903.17	(2 <sup>+</sup> ,3,4 <sup>+</sup> )
		1079.8 3	17 4	1463.99	(2 <sup>+</sup> )
		1954.8 3	100 8	588.826	2 <sup>+</sup>
		2543.73 14	98 3	0.0	0 <sup>+</sup>
2572.42	(1,2 <sup>+</sup> )	1108.29 18	33.5 23	1463.99	(2 <sup>+</sup> )
		2572.38 14	100 3	0.0	0 <sup>+</sup>
2644.8	(1,2 <sup>+</sup> )	310.6 3	61 19	2334.07	(1 <sup>-</sup> ,2,3)
		2644.9 4	100 13	0.0	0 <sup>+</sup>
2655.1	(6 <sup>+</sup> ,7,8 <sup>+</sup> )	370.9 <sup>#</sup>		2284.2	(8 <sup>+</sup> )
		1100.5 <sup>#</sup>		1554.6	(6 <sup>+</sup> )
2674.26	(1,2 <sup>+</sup> )	771.0 4	10 3	1903.17	(2 <sup>+</sup> ,3,4 <sup>+</sup> )
		1210.2 3	22 4	1463.99	(2 <sup>+</sup> )
		2085.43 12	100 4	588.826	2 <sup>+</sup>
		2674.0 3	15.3 22	0.0	0 <sup>+</sup>
2710.1		1155.5 <sup>#</sup>	100	1554.6	(6 <sup>+</sup> )
2794.37	(1,2 <sup>+</sup> )	460.0 3	30 10	2334.07	(1 <sup>-</sup> ,2,3)
		778.90 22	100 10	2015.48	(3 <sup>-</sup> )
		1331.2 5	28 10	1463.99	(2 <sup>+</sup> )
		2794.3 4	62 8	0.0	0 <sup>+</sup>
2835.63	(1,2)	1371.57 23	25.9 23	1463.99	(2 <sup>+</sup> )
		2835.64 19	100 4	0.0	0 <sup>+</sup>
2890.61	(1,2 <sup>+</sup> )	678.0 3	56 16	2212.54	
		987.4 3	100 20	1903.17	(2 <sup>+</sup> ,3,4 <sup>+</sup> )
		2890.7 6	48 12	0.0	0 <sup>+</sup>
2952.63		621.1 4	21 8	2331.92	(2 <sup>+</sup> ,3,4 <sup>+</sup> )
		837.80 <sup>a</sup> 25	56 8	2114.67	(1,2 <sup>+</sup> )
		2363.74 16	100 6	588.826	2 <sup>+</sup>
2964.39	(1,2 <sup>+</sup> )	391.6 4	7 3	2572.42	(1,2 <sup>+</sup> )
		849.79 <sup>a</sup> 24	15 3	2114.67	(1,2 <sup>+</sup> )
		1061.2 4	12 3	1903.17	(2 <sup>+</sup> ,3,4 <sup>+</sup> )
		1500.42 11	100 4	1463.99	(2 <sup>+</sup> )
		2376.0 <sup>a</sup> 2	18.3 25	588.826	2 <sup>+</sup>
		2964.4 3	17.1 18	0.0	0 <sup>+</sup>

Adopted Levels, Gammas (continued)

$\gamma(^{138}\text{Xe})$ (continued)								
$E_i(\text{level})$	$J_i^\pi$	$E_\gamma^\ddagger$	$I_\gamma^\ddagger$	$E_f$	$J_f^\pi$	Mult. @	$\alpha^\ddagger$	Comments
2972.2	(10 <sup>+</sup> )	687.9 <sup>#</sup>	100	2284.2	(8 <sup>+</sup> )	(E2)	0.00387	$\alpha(\text{K})=0.00331$ 5; $\alpha(\text{L})=0.000449$ 7; $\alpha(\text{M})=9.13\times 10^{-5}$ 13 $\alpha(\text{N})=1.88\times 10^{-5}$ 3; $\alpha(\text{O})=2.29\times 10^{-6}$ 4
3224.7		940.5 <sup>#</sup>	100	2284.2	(8 <sup>+</sup> )			
3276.5		992.3 <sup>#</sup>	100	2284.2	(8 <sup>+</sup> )			
3354.7		382.6 <sup>#a</sup>		2972.2	(10 <sup>+</sup> )			
		699.5 <sup>#</sup>		2655.1	(6 <sup>+</sup> ,7,8 <sup>+</sup> )			
		1070.5 <sup>#</sup>		2284.2	(8 <sup>+</sup> )			
3412.7		1128.5 <sup>#</sup>	100	2284.2	(8 <sup>+</sup> )			
3474.79	(2 <sup>+</sup> )	2402.24 22	100 5	1072.53	(4 <sup>+</sup> )			
		3474.3 7	26 5	0.0	0 <sup>+</sup>			
3496.59	(1,2 <sup>+</sup> )	1379.3 5	11 4	2117.22				
		2032.79 & 15	$\leq 117$ &	1463.99	(2 <sup>+</sup> )			
		3496.3 2	100 6	0.0	0 <sup>+</sup>			
3516.51?	(1,2 <sup>+</sup> )	2927.82 20	75 4	588.826	2 <sup>+</sup>			
		3516.3 2	100 11	0.0	0 <sup>+</sup>			
3571.3	(12 <sup>+</sup> )	599.0 <sup>#</sup>	100	2972.2	(10 <sup>+</sup> )	(E2)	0.00551	$\alpha(\text{K})=0.00469$ 7; $\alpha(\text{L})=0.000653$ 10; $\alpha(\text{M})=0.0001332$ 19 $\alpha(\text{N})=2.73\times 10^{-5}$ 4; $\alpha(\text{O})=3.32\times 10^{-6}$ 5
3839.7		615.0 <sup>#</sup>		3224.7				
		867.5 <sup>#</sup>		2972.2	(10 <sup>+</sup> )			
3876.7		904.5 <sup>#</sup>	100	2972.2	(10 <sup>+</sup> )			
3898.7		327.4 <sup>#</sup>		3571.3	(12 <sup>+</sup> )			
		544.0 <sup>#</sup>		3354.7				
		926.5 <sup>#</sup>		2972.2	(10 <sup>+</sup> )			
3899.05	(1,2 <sup>+</sup> )	1326.3 3	10 3	2572.42	(1,2 <sup>+</sup> )			
		1355.80 <sup>a</sup> 11	33 4	2543.71	(1,2 <sup>+</sup> )			
		1567.20 <sup>a</sup> 25	27 4	2331.92	(2 <sup>+</sup> ,3,4 <sup>+</sup> )			
		2032.79 & 15	$\leq 79$ &	1866.21	(1,2 <sup>+</sup> )			
		2826.1 6	6.7 16	1072.53	(4 <sup>+</sup> )			
		3310.28 15	100 4	588.826	2 <sup>+</sup>			
		3898.4 6	4.1 10	0.0	0 <sup>+</sup>			
3961.86	(1 <sup>-</sup> ,2,3)	1629.7 3	22 4	2331.92	(2 <sup>+</sup> ,3,4 <sup>+</sup> )			
		1946.26 13	56.3 24	2015.48	(3 <sup>-</sup> )			
		2058.84 14	100 12	1903.17	(2 <sup>+</sup> ,3,4 <sup>+</sup> )			
4084.6		1112.5 <sup>#</sup>	100	2972.2	(10 <sup>+</sup> )			
4167.56	(1,2,3)	1594.7 5	8 3	2572.42	(1,2 <sup>+</sup> )			
		1835.44 17	22 4	2331.92	(2 <sup>+</sup> ,3,4 <sup>+</sup> )			
		2301.57 16	100 5	1866.21	(1,2 <sup>+</sup> )			
4182.01	(1,2 <sup>+</sup> )	1609.3 5	13 5	2572.42	(1,2 <sup>+</sup> )			
		1919.94 18	22.3 18	2262.14	(1,2 <sup>+</sup> )			

**Adopted Levels, Gammas (continued)**

$\gamma(^{138}\text{Xe})$  (continued)

$E_i(\text{level})$	$J_i^\pi$	$E_\gamma^\ddagger$	$I_\gamma^\ddagger$	$E_f$	$J_f^\pi$	$E_i(\text{level})$	$J_i^\pi$	$E_\gamma^\ddagger$	$I_\gamma^\ddagger$	$E_f$	$J_f^\pi$
4182.01	(1,2 <sup>+</sup> )	3593.0 2	39.3 18	588.826	2 <sup>+</sup>	4965.0		545.9 <sup>#</sup>	100	4419.1	(14 <sup>+</sup> )
		4182.0 2	100 6	0.0	0 <sup>+</sup>	4989.7		570.6 <sup>#</sup>	100	4419.1	(14 <sup>+</sup> )
4318.96	(1,2 <sup>+</sup> )	2452.5 9	11 6	1866.21	(1,2 <sup>+</sup> )	5042.0?	(1,2,3)	1545.6 5	100 27	3496.59	(1,2 <sup>+</sup> )
		4318.9 2	100 7	0.0	0 <sup>+</sup>			2151.3 4	95 21	2890.61	(1,2 <sup>+</sup> )
4357.4		272.9 <sup>#</sup>		4084.6				3026.1 <sup>&amp;a</sup> 5	$\leq 143$ &	2015.48	(3 <sup>-</sup> )
		458.9 <sup>#</sup>		3898.7		5142.0?	(1,2,3)	974.5 3	100 25	4167.56	(1,2,3)
		786 <sup>#</sup>		3571.3	(12 <sup>+</sup> )			1666.7 7	69 32	3474.79	(2 <sup>+</sup> )
4419.1	(14 <sup>+</sup> )	847.8	100	3571.3	(12 <sup>+</sup> )			3026.1 <sup>&amp;a</sup> 5	$\leq 162$ &	2114.67	(1,2 <sup>+</sup> )
4490.3?	(1,2,3)	994.0 3	100 17	3496.59	(1,2 <sup>+</sup> )	5341.66?	(1,2 <sup>+</sup> )	1845.0 3	100 14	3496.59	(1,2 <sup>+</sup> )
		1815.6 4	97 21	2674.26	(1,2 <sup>+</sup> )			2389.2 5	74 14	2952.63	
		3026.1 <sup>&amp;a</sup> 6	$\leq 90$ &	1463.99	(2 <sup>+</sup> )			4752.7 4	43 3	588.826	2 <sup>+</sup>
4511.8		613.1 <sup>#</sup>		3898.7				5341.6 5	63 9	0.0	0 <sup>+</sup>
		940.6 <sup>#</sup>		3571.3	(12 <sup>+</sup> )	5520.0		530.3 <sup>#</sup>		4989.7	
4526.3		955.0 <sup>#</sup>	100	3571.3	(12 <sup>+</sup> )			555.0 <sup>#</sup>		4965.0	
4689.9		1118.6 <sup>#</sup>	100	3571.3	(12 <sup>+</sup> )	5814.0		824.3 <sup>#</sup>	100	4989.7	

† Additional information 2.

‡ From <sup>138</sup>I  $\beta^-$  decay, unless otherwise noted.

# From <sup>248</sup>Cm SF decay.

@ From  $\gamma(\theta)$  in <sup>248</sup>Cm SF decay, unless otherwise noted. Brackets are added if no strong experimental evidence is available.

& Multiply placed with undivided intensity.

<sup>a</sup> Placement of transition in the level scheme is uncertain.

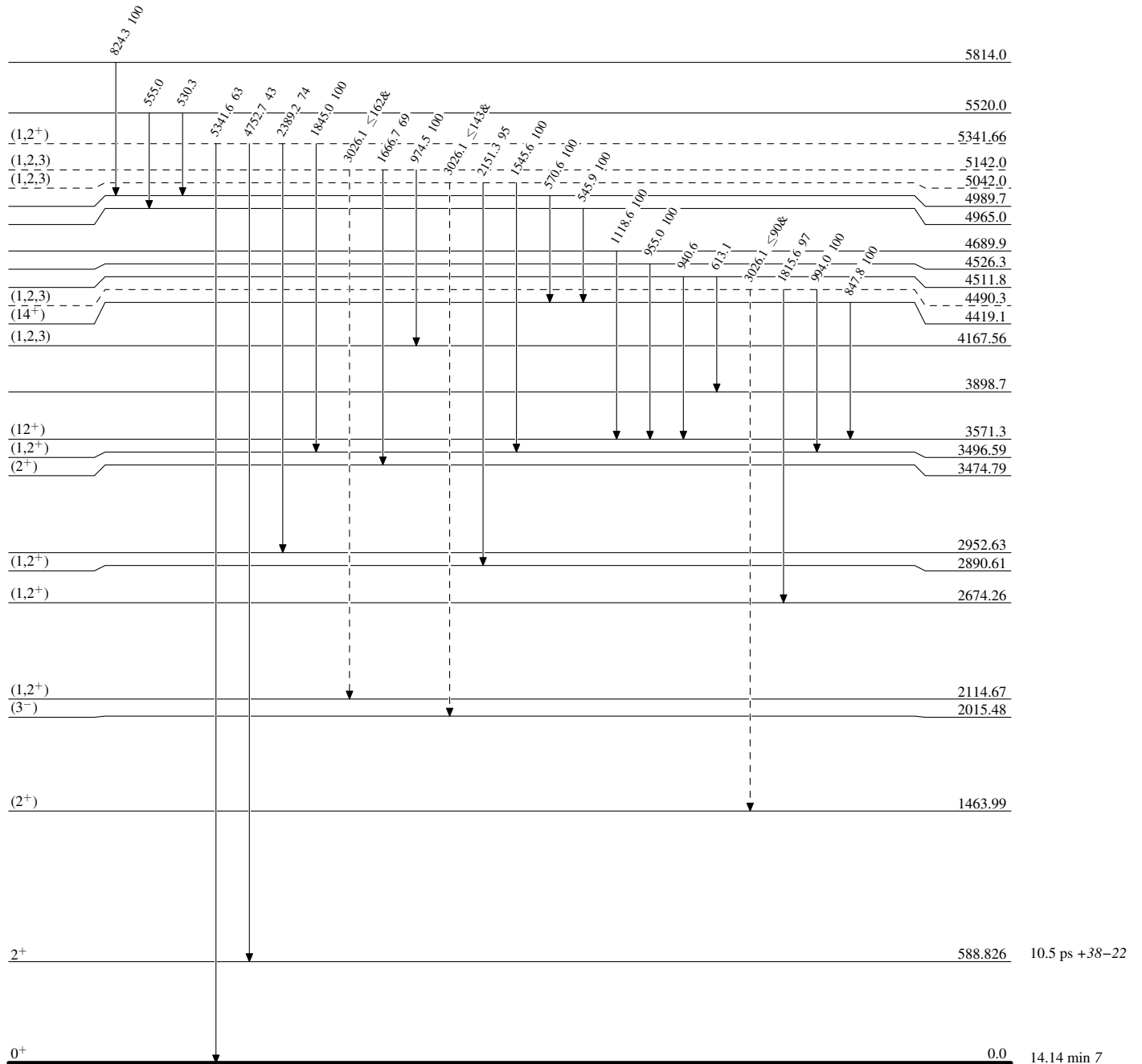
**Adopted Levels, Gammas**

Legend

Level Scheme

Intensities: Relative photon branching from each level  
& Multiply placed: undivided intensity given

-----▶  $\gamma$  Decay (Uncertain)

 $^{138}_{54}\text{Xe}_{84}$

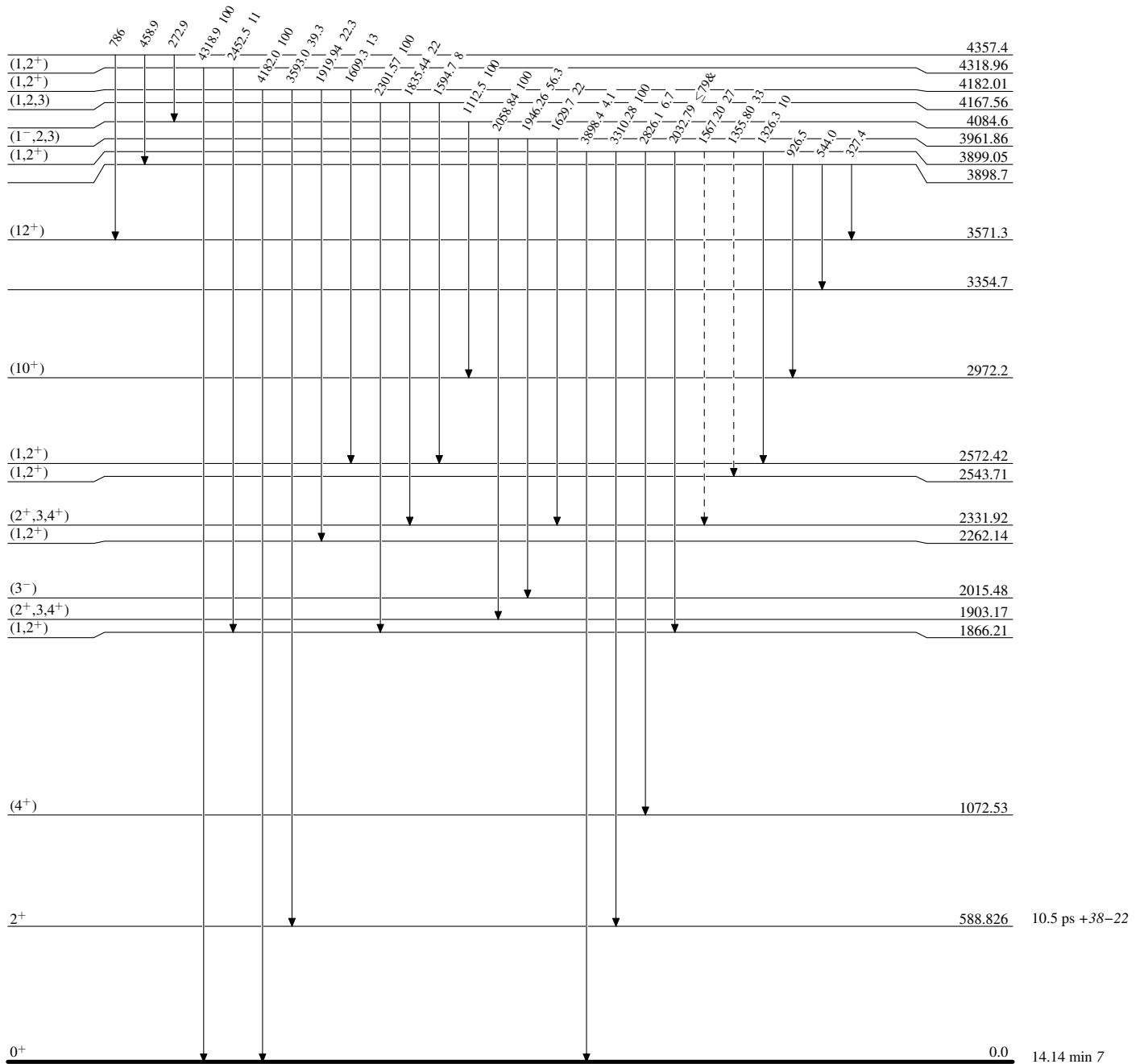
**Adopted Levels, Gammas**

Legend

**Level Scheme (continued)**

Intensities: Relative photon branching from each level  
& Multiply placed: undivided intensity given

-----▶  $\gamma$  Decay (Uncertain)

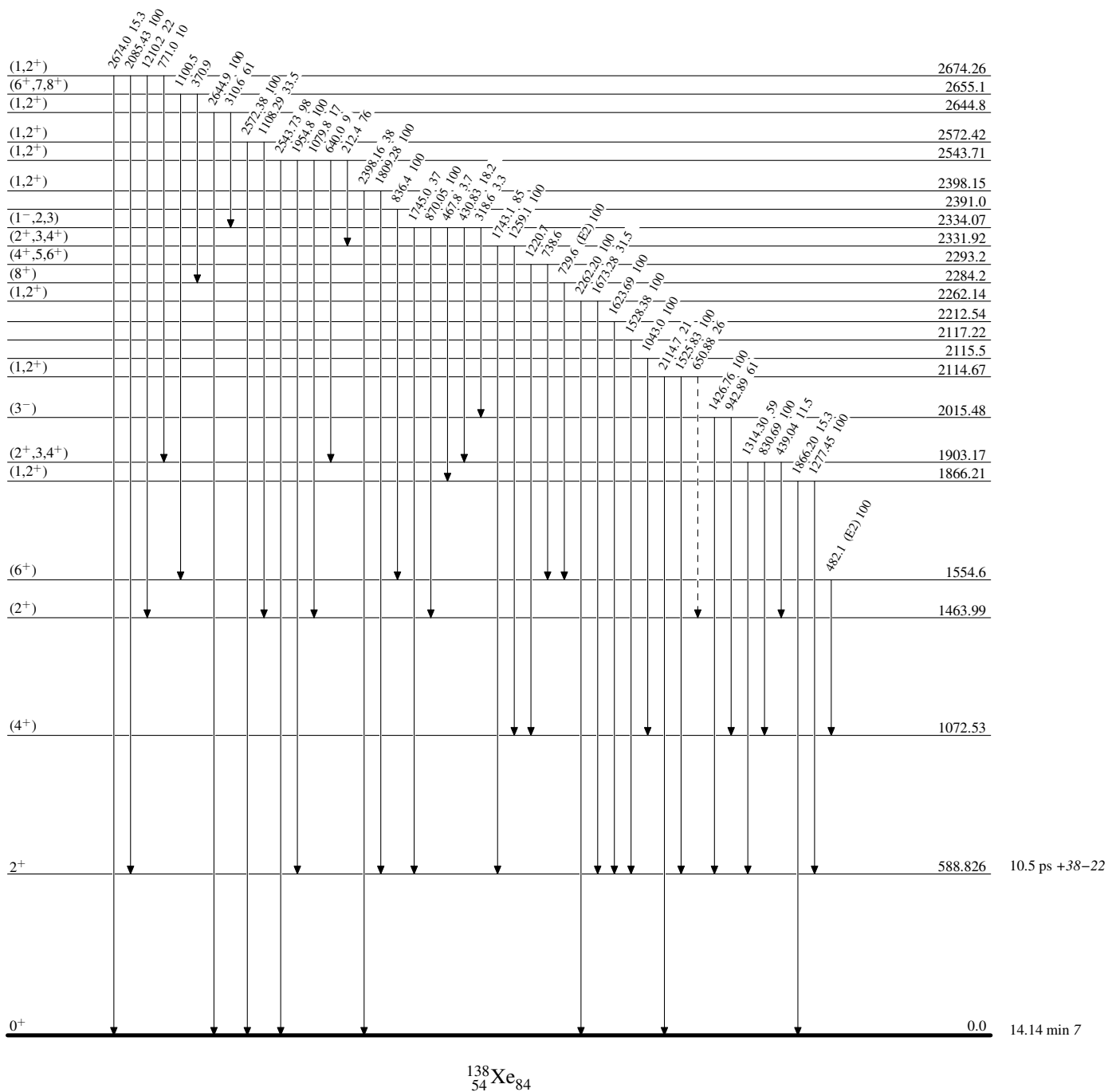
 $^{138}_{54}\text{Xe}_{84}$





Adopted Levels, Gammas

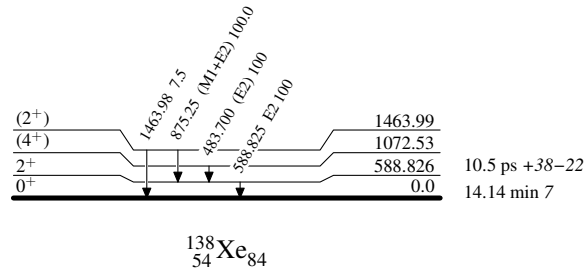
Legend

Level Scheme (continued)Intensities: Relative photon branching from each level  
& Multiply placed: undivided intensity given----->  $\gamma$  Decay (Uncertain)

### Adopted Levels, Gammas

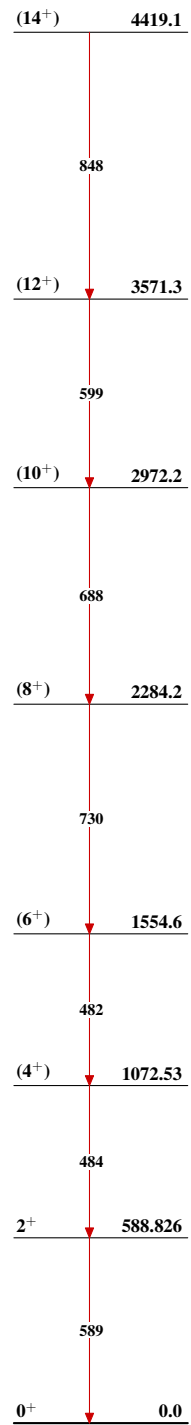
#### Level Scheme (continued)

Intensities: Relative photon branching from each level  
& Multiply placed: undivided intensity given



**Adopted Levels, Gammas**

Band(A): Yrast band

 $^{138}_{54}\text{Xe}_{84}$